

Pseudomonas syringae pv. tabaci 가 생산하는 tabtoxin의 미생물학적 검색방법에 관한 연구

백형석 · 구재관 · 전홍기

부산대학교 자연과학대학 미생물학과

Studies on the microbiological assay method for tabtoxin produced in *Pseudomonas syringae* pv. *tabaci*

Baik, Hyung Suk, Jae-Gwan Gu and Hong-Ki Jun

Department of Microbiology, College of Natural Sciences,
Pusan National University, Pusan 609-735, Korea

ABSTRACT : Tabtoxin produced in *Pseudomonas syringae* pv. *tabaci* irreversibly inhibits its known physiological target, glutamine synthetase, so that causes wildfire disease on leaves of host plant.

In this study, we examined a rapid and sensitive microbiological method for tabtoxin assay in several media. In minimal A agar medium and minimal glucose agar medium, growth inhibition zone of *Agrobacterium tumefaciens* was larger than that of other indicator strain. However, mostly, growth inhibition zone of indicator strains on the minimal glucose agar medium was smaller than that of on the minimal A agar medium. In complex agar medium, growth inhibition zone was not observed in all the tested indicator strains. *Pseudomonas syringae* pv. *tabaci* produced more tabtoxin according to the incubation time. When glutamine was added to the minimal glucose agar medium, growth inhibition zone of *Agrobacterium tumefaciens* was reduced.

KEY WORDS □ Tabtoxin, *Pseudomonas syringae* pv. *tabaci*, Growth inhibition zone

식물 병원성 세균인 *Pseudomonas syringae*에 속하는 균주들은 그들의 숙주인 식물의 잎이나 뿌리에 질병을 야기하여 생육부진을 유발함으로써 이들의 수확량을 감소시키거나 품질의 저하를 초래한다. 이들 식물병 유발균들은 각기 특징적인 Phytotoxin을 생성하여 병을 일으킨다.

이와 같은 특징적인 phytotoxin 생성에 의해 발생하는 식물병 및 원인균으로는 담배 잎에 들불병(野火病, wildfire disease)을 일으키는 *Pseudomonas syringae* pv. *tabaci* 와 콩의 일종인 *Phaseolus vulgaris* L. cv. Red Kidney의 잎에 세균성 접무늬병을 야기하는 *Pseudomonas syringae* pv. *phaseolicola*가 있으며 (Durbin 등, 1984; Mitchell 등, 1983) 이 외에 대두에 세균성 접무늬병을 일으키는 *Pseudomonas syringae* pv. *glycinea* (Carolyn 등, 1987; Osman 등, 1986), 토마토 잎에 세균성 접무늬병을 유발하는 *Pseudomonas coronafaciens* (Suresh 등, 1976), 양파 뿌리에 뿌리썩음병을 일으키는 *Pseudomonas cepacia* 등이 있다(Gail 등, 1987).

이 중에서도 특히 담배잎이나 콩잎에 들불병을 일으키는 *Pseudomonas syringae* pv. *tabaci*가 큰 문제로 대두되었으며 (Stewart, 1971), 이 균에 의한 들불병의 유발기작은 바로 이 균이 생성 분비하는 tabtoxin이 가수분해 됨으로써 생기는 tabtoxinine- β lactam [2-amino-4-(3-hydroxy-2-oxo-azacyclobutan-3-yl)-butanoic acid]에 기인한 것으로 밝혀졌다 (Durbin 등, 1985; Levi 등, 1986; Taylor 등, 1972; Thomas 등, 1985; Unkefer 등, 1987).

그러나 이들 식물 병원성 균들이 생성하는 phytotoxin의 검색은 주로 식물 숙주의 잎 등에 toxin 생성균을 접종하여 숙주에 나타나는 증상으로 관찰하고 있으나 이 검색법은 많은 시간이 소요되기 때문에 보다 간편한 방법으로 검색할 수 있는 검색법이 필요하다.

특히 유연종인 *Pseudomonas syringae* pv. *phaseolicola*의 경우, 생성된 phaseoletoxin을 *Escherichia coli*와 *Salmonella typhimurium* oligopeptide transport system을 통하여 흡수하는 성질을 이용한

미생물학적 독성 검사법이 보고되어 있다(Staskawicz 등, 1979; Staskawicz 등, 1980).

그러나 *Pseudomonas syringae* pv. *tabaci*가 생성하는 tabtoxin에 대한 미생물학적 검색 방법은 극히 미미한 실정이므로 본 실험에서는 *Escherichia coli*, *Salmonella typhimurium* 등 여러 세균을 이용하여 tabtoxin을 검색할 수 있는 방법에 대하여 검토하였다.

재료 및 방법

균주 및 배양방법

Tabtoxin 생성균주는 미국의 Wisconsin University 의 R. D. Durbin으로부터 분양받은 *Pseudomonas syringae* pv. *tabaci*로서 Toxin⁺(pt113, 독성 tabtoxin 생성균)균과 Toxin⁻(pa45, 비독성 tabtoxin 생성균)균이었으며, 이들을 minimal medium과 complex medium에서 독소생성 최적온도인 18~20°C (Staskawicz 등, 1980)에서 진탕배양 하였다. Tabtoxin의 미생물학적 검색에 사용한 지시균주는 Table 1과 같았으며 *Escherichia coli* 와 *Salmonella typhimurium*은 37°C에서, 나머지 균들은 30°C에서 진탕배양하여 실험에 사용하였다.

사용배지

Bottom agar medium으로는 minimal A agar medium (Miller, 1972), minimal glucose agar medium (Maron 등, 1983)과 복합배지인 nutrient broth-yeast extract(NBYE) agar medium (Nordean 등, 1983), nutrient agar medium(nutrient broth 8 g, agar 15g, 중류수 1000ml)을 사용하였으며 top agar medium으로는 2.0% molten agar를 지시균주의 중층시에 사용하였다.

숙주식물

분양받은 균주의 tabtoxin 생성 유무에 대한 1차적인 검색을 위해서 사용한 숙주식물은 *Phaseolus*

vulgaris L. cv. Red Kidney이었으며, 물에 적신 솜이 깔린 petri dish에 종자를 넣고 30°C에서 발아시킨 다음, 화분에 옮겨 20±2°C 온실에서 재배하여 실험에 사용하였다.

숙주식물에 대한 독성검사

이식후 7~12일이 경과한 *Phaseolus vulgaris* L. cv. Red Kidney의 잎을, Carborundum을 묻힌 멸균된 면봉으로 가볍게 문질러 상처를 낸 다음, NBYE broth에서 30°C로 하룻밤 동안 배양한 *Pseudomonas syringae* pv. *tabaci* toxin⁺ 및 toxin⁻균을 접종하였다. 접종된 숙주식물은 20±2°C의 온실에서 12시간 간격으로 light-dark cycle을 반복하여 재배한 다음 10~14일 후에 잎에 나타나는 증상을 관찰하였다.

배지조성에 따른 독성 검사

Pseudomonas syringae pv. *tabaci*의 Toxin⁺균과 Toxin⁻균을 minimal medium과 complex medium에서 30°C로 하룻밤 동안 진탕배양한 다음, 배양액 40μl를 각각의 bottom agar medium에 접종하였으며 18~20°C에서 24시간 정치배양하여 tabtoxin을 충분히 생성시킨 후 지시균주를 중층하였다. 지시균주는 각각의 동일 액체 배지에서 *Escherichia coli* 와 *Salmonella typhimurium*은 37°C에서, 나머지 균들은 30°C에서 하룻밤 동안 진탕배양한 후 2.0% molten agar 2ml에 동량의 균 배양액을 첨가하여 고루 섞은 다음 bottom agar plate에 중층시켰다. 중층된 균은 30°C 배양기에서 24시간 배양하여 tabtoxin에 의한 지시균주의 증식저지환을 관찰하였다.

Glutamine 첨가에 대한 독성 검사

Glutamine을 첨가했을 때 tabtoxin에 대한 지시균주의 반응을 검토하기 위해서 bottom agar plate에 최고 800μg/ml의 glutamine을 첨가하여 지시균주인 *Agrobacterium tumefaciens*의 증식저지환을

Table 1. Bacterial strains used in the development of a microbiological assay for tabtoxin.

Strain	Source	Genotype
<i>Aerobacter aerogenes</i>	IFO 3317	Wildtype
<i>Agrobacterium tumefaciens</i>	IAM 1037	Wildtype
<i>Bacillus subtilis</i>	IFO 3007	Wildtype
<i>Brevibacterium ammoniagenes</i>	IFO 12071	Wildtype
<i>Escherichia coli</i> C600	S.Y. Lee	F ^r thi-1 thr-1 leuB6 lac Y1 fhu A21 sup E44λ
<i>Micrococcus luteus</i>	IFO 3763	Wildtype
<i>Sarcina marginata</i>	IFO 3066	Wildtype
<i>Salmonella typhimurium</i> LT-2G46	B.N. Ames	hisG46
<i>Xanthomonas campestris</i>	IAM 1671	Wildtype

조사하였다.

배양온도에 따른 tabtoxin 생성능 검토

Pseudomonas syringae pv. *tabaci*의 Toxin⁺균을 minimal glucose agar plate에 20μl씩 접종하여 10°C, 20°C, 30°C에서 24시간 배양하여 tabtoxin을 생성케 한 후 지시균주로 *Agrobacterium tumefaciens*를 사용하여 증증시키고 30°C에서 24시간 배양하여 나타나는 증식저지환을 조사하였다.

배양시간에 따른 tabtoxin 생성능 검토

Minimal glucose agar plate에 *Pseudomonas syringae* pv. *tabaci*의 Toxin⁺균 배양액을 20μl 접종하여, 20°C에서 1일부터 3일까지 배양하여 tabtoxin을 생성시키고 *Agrobacterium tumefaciens*를 지시균주로 사용하여 증증시킨 후 30°C에서 24시간 배양하여 나타나는 증식저지환의 크기를 비교 검토하였다.

결과 및 고찰

숙주식물에 대한 독성 검사

Phaseolus vulgaris L. cv. Red Kidney의 잎에 *Pseudomonas syringae* pv. *tabaci* Toxin⁺균을 접종하여 나타난 세균성 점무늬병은 Fig. 1과 같았다. Toxin⁺균을 접종한 잎에서는 직경 2~3cm정도의 세균성 점무늬병 증상을 확연히 나타내었으며 Toxin⁻균을 접종한 잎에서는 어떠한 병정도 관찰

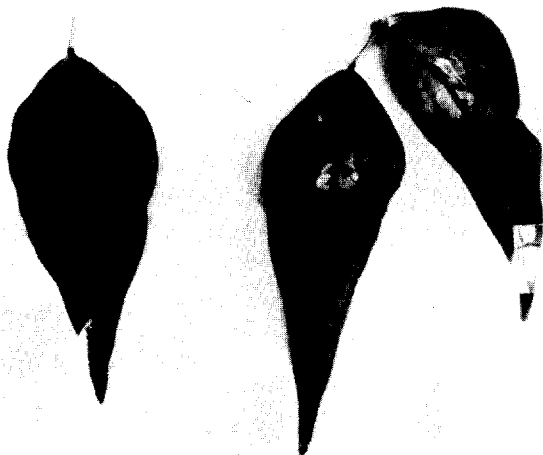


Fig. 1. Tabtoxin-induced chlorosis in *Phaseolus vulgaris* L. cv. "Red kidney" leaves
(A) No toxin
(B) Toxin-induced halo

할 수 없었다. 이 결과를 토대로 하여 *Pseudomonas syringae* pv. *tabaci* Toxin⁺균을 tabtoxin의 미생물학적 검색에 사용하였다.

Minimal A agar medium을 사용한 독성 검사

*Escherichia coli*와 *Agrobacterium tumefaciens*를 지시균주로 사용하여 minimal A agar medium에서 tabtoxin을 검색한 결과는 Fig. 2, 3과 같았다. *Escherichia coli*의 경우 직경 약 3~4cm의 증식저지환을 나타내었으며 *Agrobacterium tumefaciens*의 경우 약 6cm의 증식저지환을 나타내었다. 그외의 지시균주를 사용한 결과는 table 2와 같았다. 따라서

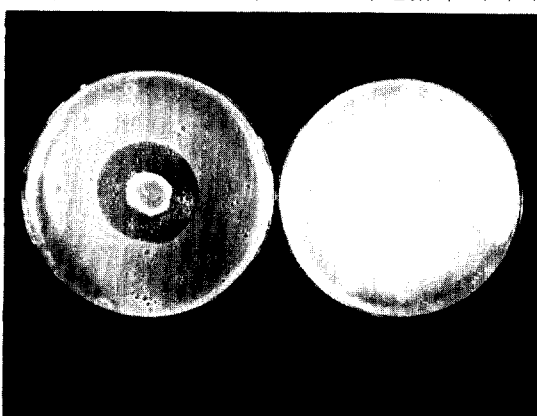


Fig. 2. Microbiological assay for tabtoxin by *Escherichia coli* in minimal A agar medium
(A) Toxin⁺
(B) Toxin⁻

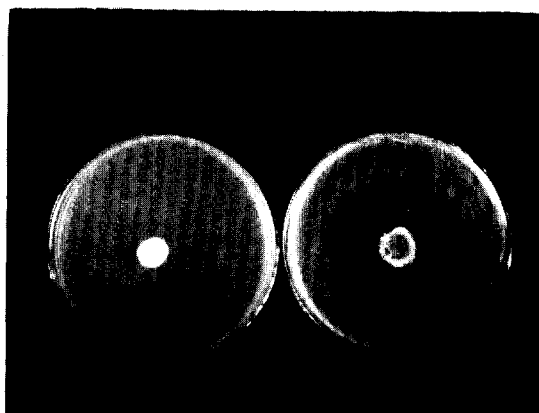


Fig. 3. Microbiological assay for tabtoxin by *Agrobacterium tumefaciens* in minimal A agar Medium
(A) Toxin⁻
(B) Toxin⁺

Table 2. Microbiological assay for tabtoxin in minimal A agar medium.

Strain	Inhibition zone(cm)	Colony zone(cm)
<i>Escherichia coli</i> C600	3.4	1.5
<i>Salmonella typhimurium</i> LT-2G46	5	1.5
<i>Aerobacter aerogenes</i>	—	1.5
<i>Bacillus subtilis</i>	5.5	1.5
<i>Agrobacterium tumefaciens</i>	6	1.5
<i>Micrococcus luteus</i>	—	1.5
<i>Sarcina marginata</i>	—	1.5
<i>Brevibacterium ammoniagenes</i>	—	1.5
<i>Xanthomonas campestris</i>	—	1.5

Table 3. Microbiological assay for tabtoxin in minimal glucose agar medium.

Strain	Inhibition zone(cm)	Colony zone(cm)
<i>Escherichia coli</i> C600	3	1.5
<i>Salmonella typhimurium</i> LT-2.G46	2	1.5
<i>Aerobacter aerogenes</i>	—	1.5
<i>Bacillus subtilis</i>	3.5	1.5
<i>Agrobacterium tumefaciens</i>	4.5	1.5
<i>Micrococcus luteus</i>	—	1.5
<i>Sarcina marginata</i>	—	1.5
<i>Brevibacterium ammoniagenes</i>	—	1.5
<i>Xanthomonas campestris</i>	—	1.5

*Agrobacterium tumefaciens*가 tabtoxin에 가장 민감한 반응을 보임을 알 수 있었다.

Minimal glucose agar medium 을 사용한 독성검사

Mimimal glucose agar medium 을 사용하여 tabtoxin 을 검색한 결과는 Fig. 4 및 Table 3 과 같았다. Fig. 4 는 지시균주로 *Escherichia coli*와 *Agrobacterium tumefaciens* 를 사용했을 때 생성된 증식저지환의 크기를 비교한 것으로 각각 약 3cm와 4.5cm의 증식저지환을 나타내었으며 이러한 결과는 mimimal A agar medium 에서도 유사하였다. 따라서 *Agrobacterium tumefaciens* 가 사용된 지시균주 중에서는 tabtoxin에 가장 높은 감도를 나타내었다.

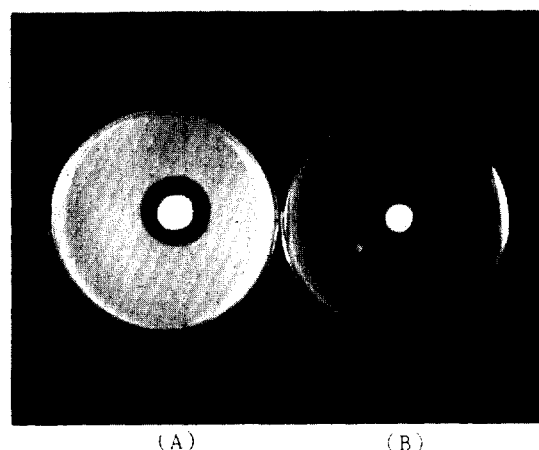


Fig. 4. Microbiological assay for tabtoxin by *Escherichia coli* and *Agrobacterium tumefaciens* in minimal glucose agar medium
 (A) *Escherichia coli* C600
 (B) *Agrobacterium tumefaciens*

Complex agar medium 을 사용한 독성 검사
 NBYE 와 nutrient agar medium에서 tabtoxin 을 검색한 결과 사용된 모든 지시균주가 tabtoxin 에 의한 증식저지환을 전혀 형성하지 않았다. 따라서 *Pseudomonas syringae* pv. *tabaci*는 complex medium에서 tabtoxin을 생성하지 않음을 알 수 있었다. 이러한 결과는 유연종인 *Pseudomonas syringae* pv. *phaseolicola*가 complex medium에서는 phaseolotoxin을 생성하지 않는다는 보고(Staska-

wicz 등, 1979)와 일치하였다.

Glutamine 첨가시 독성 검사

Minimal glucose agar medium에 800mg/ml의

glutamine 을 첨가 했을 때 지시균주인 *Agrobacterium tumefaciens*의 tabtoxin 에 대한 반응은 Fig. 5 와 같이 증식저지환이 생성되지 않음을 알 수 있었다.

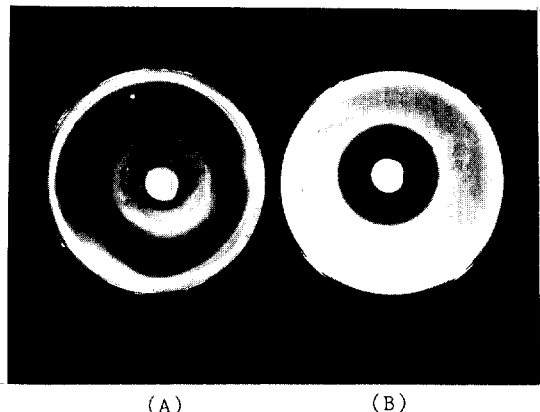


Fig. 5. Glutamine inhibition of *Agrobacterium tumefaciens* by tabtoxin and its reversal by glutamine
 (A) Minimal glucose agar medium
 (B) Minimal glucose agar medium + glutamine

배양온도에 따른 tabtoxin 생성능

Minimal glucose agar medium 에서 10°C, 20°C, 30°C로 *Pseudomonas syringae* pv. *tabaci*를 배양하여 생성된 tabtoxin 을 지시균주 *Agrobacterium tumefaciens*로 검색한 결과 Fig.6과 같이 20°C 뿐만 아니라 30°C에서도 tabtoxin 이 생성됨을 알 수 있었다.

배양시간에 따른 tabtoxin 생성능

Minimal glucose agar medium 에서 *Pseudomonas syringae* pv. *tabaci*의 배양시간에 따른 tabtoxin 생성능을 지시균주 *Agrobacterium tumefaciens*를 사용하여 증식저지환의 크기로 비교, 검토하였다. Fig.7에서와 같이 배양시간이 경과함에 따라 지시균주의 증식저지환이 1일 배양시 약 3.5cm, 2일 배양시 약 7cm, 3일 배양시 약 9~10cm 의 크기로 증식저지환이 커지는 것을 관찰할 수 있었다. 이 결과를

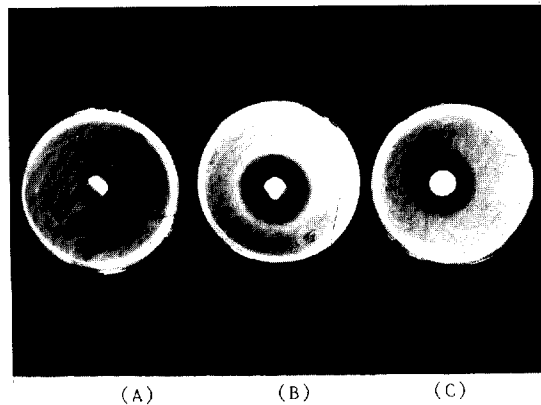


Fig. 6. Effect of temperature on tabtoxin production
 (A) 10°C
 (B) 20°C
 (C) 30°C

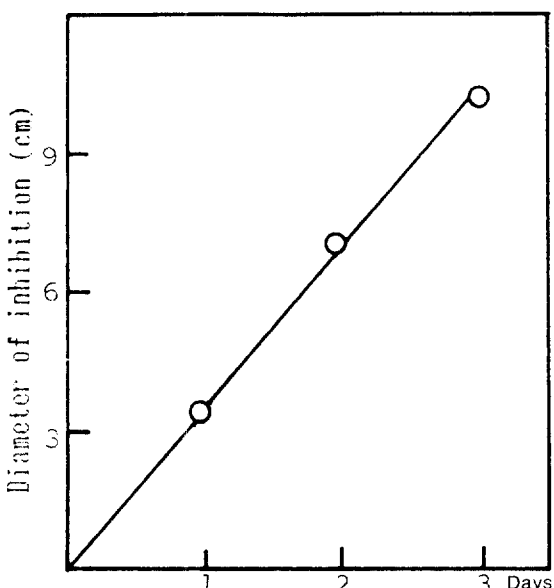


Fig. 7. Inhibition of *Agrobacterium tumefaciens* by tabtoxin

이용하면 배양시간에 따른 tabtoxin 생성량에 대한 정량적인 검토가 가능하리라 사료된다.

적 요

식물의 잎에 세균성 점무늬병을 야기시키는 식물 병원성균인 *Pseudomonas syringae* pv. *tabaci*는 tabtoxin 이라는 phytotoxin 을 생성하는데 이 toxin을 미생물학적으로 간편하게 검색하는 방법을 여러가지 지시균주를 사용하여 각족 배지에서 검토하였다. Minimal A agar medium에서는 tabtoxin 검색에 *Agrobacterium tumefaciens*가 가장 유용한 균주였

으며 minimal glucose agar medium 에서도 역시 마찬가지의 결과를 얻었다. Complex agar medium 에서는 사용된 모든 지시균주에 대해 증식저지환이 형성되지 않아, tabtoxin 이 생성되지 않음을 알 수 있었다. 배양온도에 따른 tabtoxin 의 생성능은 20°C 및 30°C 에서 최적이었으며 배양시간이 경과함에 따라 tabtoxin 생성량이 증가하였다. Glutamine 을 minimal glucose agar medium 에 첨가하여 tabtoxin 에 대한 지시균주의 반응은 첨가한 glutamine 의 양이 증가할수록 tabtoxin 에 의한 생육억제가 감소함을 알 수 있었다.

참고문헌

- Carol, L.B., and D.A. Cooksey, 1987. Molecular cloning of copper resistance genes from *Pseudomonas syringae* pv. *tomato*. *J. Bacteriol.*, **169**, 470-474.
- Carolyn, N., and B. Staskawicz, 1987. Molecular characterization and nucleic acid sequence of an avirulence gene from race 6 of *Pseudomonas syringae* pv. *glycinea*. *J. Bacteriol.*, **166**, 66-71.
- Durbin, R.D., and T.F. Uchytil, 1984. The role of intercellular fluid and bacterial isolate on the vivo production of tabtoxin and tabtoxinine- β -lactam. *Physiol. Plant Pathol.*, **24**, 25-31.
- Durbin, R.D., and T.E. Uchytil, 1985. Role of zinc in regulating tabtoxin production. *Experimentica*, **41**, 136-137.
- Gail, E.S., H. Ree, and T.G. Lessie, 1987. Identification of transposable elements which activate gene expression in *Pseudomonas cepacia*. *J. Bacteriol.*, **169**, 8~13.
- Levi, C., and R.D. Durbin, 1986. The isolation and properties of a tabtoxin hydrolyzing aminopeptidase from the periplasmic of *Pseudomonas syringae* pv. *tabaci*. *Physiol. Mol. Plant Pathol.*, **28**, 245-252.
- Maron, D.M., and B.N. Ames, 1983. Revised methods for the *Salmonella* mutagenicity test. *Mutation Research*, **113**, 173-215.
- Miller, J.H., 1972. Experiments in molecular genetics. Cold Spring Harbor Laboratory, New York.
- Mitchell, D.T., P.J. Langston-Unkefer, T.F. Uchytil, and R.D. Durbin, 1983. Inhibition of glutamine synthetase from pea by tabtoxinine- β -lactam. *Plant Physiol.*, **71**, 912-915.
- Nordeen, R.O., M.K. Morgan, and T.C. Currier, 198
- Isolation and partial characterization of bacteriophages of the phytopathogen *Pseudomonas syringae*. *Appl. Environ. Microbiol.*, **45**(6), 1890-1898.
- Osman, S.F., W.F. Fett, and M.L. Fishman, 1986. Exopolysaccharides of the phytopathogen *Pseudomonas*.
- Staskawicz, B.J., and N.J. Panopoulos, 1979. A rapid and sensitive microbiological assay for phaseolotoxin. *Phytopathology*, **69**, 663-666.
- Staskawicz, B.J., and N.J. Panopoulos, 1980. Phaseolotoxin transport in *Escherichia coli* and *Salmonella typhimurium* via the oligopeptide permease. *J. Bacteriol.*, **142**, 474-479.
- Stewart, W.W., 1971. Isolation and proof of structure of wildfire toxin. *Nature*, **229**, 174-178.
- Suresh, S.P., P. Youngblood, P. Christiansen, and R.E. Moore, 1976. Phaseotxin A : An antimetabolite from *Pseudomonas phaseolicola*. *Biochem. Biophys. Res. Comm.*, **69**, 1019-1027.
- Taylor, P.A., H.K. Schnoes, and R.D. Durbin, 1972. Characterization of hydrolyzing aminopeptidase from the periplasm of *Pseudomonas* sp.. *Biochim. Biophys. Acta*, **286**, 107-117.
- Thomas, M.D., and R.D. Durbin, 1985. Glutamate synthetase from *Pseudomonas syringae* pv. *tabaci*: Properties and inhibition by tabtoxinine- β -lactam. *J. General Microbiol.*, **131**, 1061-1067.
- Unkefer, C.J., R.E. London, R.D. Durbin, T.F. Uchytil, P.J. Langston-Undefer, 1987. The biosynthesis of tabtoxinine- β -lactam use of specifically C¹³-labeled glucose and C¹³ MMR spectroscopy to identify its biosynthetic precursors. *J. Biol. Chem.*, **262**, 4994-4999.

(Received Jul.3, 1989)